

II.

Über die Verwendbarkeit der Funkenspectren verschiedener Metalle (Cd, Zn, Pb, Mg, Tl, Sn, Al, Ag, Cu, Fe, Ni, Co) zur Bestimmung der Wellenlänge im Ultravioletten.

Mit Bezug auf das Spectrum des Sonnenlichtes, Drummond'schen, Magnesium- und elektrischen Bogenlichtes.

Vorgelegt in der Sitzung am 15. December 1892.

Die Orientirung in den ultravioletten Theilen der Spectren ist mitunter schwierig, wenn man nicht sehr charakteristische Spectren, deren Linien hinlänglich gleichmässig vertheilt sind, als Bezugsspectren wählt, und es wurden von verschiedenen Spectroskopikern verschiedene Bezugs- oder Orientirungsspectren verwendet.

Um für meine Untersuchungen über die Wellenlänge der von mir aufgefundenen neuen ultravioletten Linien im Swan'schen Spectrum, sowie im Flammenspectrum des Ammoniaks geeignete Bezugsspectren herzustellen, hatte ich auf Grund früherer Versuche eine Legirung von gleichen Theilen Cadmium, Zink und Blei gewählt.

Die Wahl von passenden Lichtquellen, sei es zum Zwecke der Herstellung von Bezugsspectren oder zum Studium verschiedener Absorptionserscheinungen im Ultraviolet, erschien mir für meine weiteren Arbeiten von solcher Wichtigkeit, dass ich diesen Gegenstand neuerdings in den Bereich meiner Versuche zog und eine Anzahl verschiedener, theilweise sehr linienreicher Funkenspectren herstellte, welche ich in ihrem gesammten Verlaufe vom sichtbaren (gelben, grünen, blauen, violetten) Theile bis zum äussersten Ultraviolet vermittels meines Quarzspectrographen¹ auf Erythrosin-Bromsilbergelatineplatten,² deren Empfindlichkeit vom äusseren Ultraviolet bis gegen beiläufig $\lambda = 6000$ reicht, photographirte, um ein Gesamtbild über die Vertheilung der Energie der Spectren zu gewinnen. Es erschien mir ferner die Einbeziehung einiger Spectren von anderen Lichtquellen von Interesse; insbesondere vom Drummond'schen Licht, Magnesium- und elektrischen Bogen-Licht, verglichen mit dem Sonnenspectrum, da alle diese Lichtquellen für Spectralversuche häufig in Verwendung kommen, und ich deren Brauchbarkeit für meine Versuchsreihen zu erproben hatte.

I. Funkenspectren von Metallen.

Es liegt die Idee nahe, solche Spectren als Vergleichsspectren zu benützen, welche sehr viele dicht neben einander befindliche gleichmässig wirkende Linien aufweisen, wie dies z. B. beim Funkenspectrum

¹ Siehe Eder, Emissionsspectrum verbrennender Kohlenwasserstoffe. (Denkschr. d. kais. Akad. d. Wissensch. in Wien, Bd. LVII, 1890.)

² Über das spectrale Verhalten der mit Erythrosin sensibilisirten Bromsilbergelatineplatten (sammt Abbildung der mittelst solcher Platten hergestellten Photographien des Sonnenspectrums. (S. Eder, Sitzungsber. d. kais. Akad. d. Wissensch. Mathem.-naturw. Cl. Bd. XCIV (2. Abth.), 1886.)

des Eisens, Nickels, Kobalts und Wolframs der Fall ist. Wenn man nämlich die neu zu untersuchenden Spectren darauf bezieht, so sind bei der Bestimmung der Wellenlängen die Interpolationsfehler sehr gering; anderseits aber ist es ungemein schwer, im prismatischen Spectrum von mässiger Dispersion in den linienreichen Funkenspectren des Eisens, Kobalts, Nickels oder Wolframs oder ähnlichen Metallen, charakteristische Linien als Bezugslinien mit Sicherheit zu erkennen. Dies zeigt ein Blick auf die in Taf. I abgebildeten Funkenspectren, welche heliographische Reproduktionen einer Anzahl meiner Spectrumphotographien sind.¹

Viel sicherer als mittels der oben genannten linienreichen Funkenspectren kann die Orientirung mittels des Cadmium- und Zink-Spectrums erfolgen. Das Gesamtbild dieser oftmals als Bezugsspectren verwendeten Funkenspectren (Quarzspectrograph) zeigt Taf. II, Fig. 1 und 2. Auf unserer Tafel sind die mitunter gebräuchlichen Mascart'schen Nummerirungen der Cadmiumlinien (von Nr. 2 bis Nr. 26) nebst den Wellenlängen der charakteristischen Metall-Linien eingetragen. Bekanntlich weist das Cadmium Spectrum im Bezirke $\lambda = 4677$ bis 3609 (Nr. 9) und anderseits zwischen Cd Nr. 17—18, sowie zwischen Cd Nr. 18—23 grosse Lücken an charakteristischen Linien auf, während der brechbarste Theil durch die Cd-Linie Nr. 23—26 gut orientirt ist. Es kommen hier insbesondere die folgenden Linien mit den nebenstehenden Wellenlängen² in Betracht.

| | | | | | | | | | | | |
|--------------|--------------------------------|------------------|---|---|---|---|---|-----------------------|------------------|------------------------------------|-------------------|
| Gelb | Cadmiumlinie (Nr. 2) | $\lambda = 5379$ | | | | | | | | | |
| Grün | { Cd (Nr. 3) | 5338 | } | } | } | } | } | Cd | $\lambda = 3133$ | | |
| | | | | | | | | Cd (Nr. 4) | 5085 | Cd | 2980 |
| Blau | { Cd (Nr. 5) | 4799 | } | } | } | } | } | Cd | 2880 | | |
| | | | | | | | | Cd (Nr. 6) | 4077 | Cd | 2830 |
| Ultraviolett | { Cd (Nr. 7) | 4410 | } | } | } | } | } | Cd (Nr. 17) | 2748 | | |
| | | | | | | | | Cd (Nr. 9) | 3612 | Cd (Nr. 18) | 2572 |
| | | | | | | | | | 3610 | Cd | 2469 |
| | | | | | | | | Cd (Nr. 10) | 3407 | Cd (Nr. 23) | 2314 |
| | | | | | | | | | 3405 | Cd (Nr. 24) | 2266 |
| | | | | | | | | Cd (Nr. 11) | 3403 | Cd | 2241 ⁴ |
| | | | | | | | | | 3260 | Cd (Nr. 25) | 2195 |
| | | | | | | | | Cd (Nr. 12) | 3252 | Cd (Nr. 26) ³ | 2147 |
| | 3250 | | | | | | | | | | |

Diese wichtigsten der Cadmiumlinien sind unter Benützung der beigegebenen Tafel mit Leichtigkeit aufzufinden. Die gelbe Cadmiumlinie (Nr. 2), dann die grünen Linien Cd (Nr. 3) und Cd (Nr. 4) erscheinen in der Photographie (mittels des Quarzspectrographen) erst bei reichlicher Exposition; auch Cd (Nr. 5) und Cd (Nr. 6) treten schon nach 20 Minuten langer Belichtung deutlich hervor; aber bei weitem am stärksten erscheinen in der Spectrumphotographie die ultravioletten Cd-Linien von Cd (Nr. 9) angefangen.

Einige Lücken in der Vertheilung der ultravioletten Linien des Cadmium-Funkenspectrums füllen die Hauptlinien des Zink-Spectrums aus. Dies geht bei der Besichtigung der heliographischen Reproduktion der Spectrumphotographie des Zink-Funkens (Taf. II, Fig. 2) unmittelbar hervor und wird aus

¹ Die Belichtungszeit dieser und der folgenden in den Tafeln reproducirten Spectrumphotographien war mittels meines Quarzspectrographen, eines Ruhmkorff's grösster Art (mit drei Leydener-Flaschen) und feinkörnigen Schleussner'schen Erythrosin-Bromsilbergelatineplatten:

| | |
|--------------------------|-------------------------------|
| für Mg-Funken | 1 1/2 Min. (Spalt = 0.023 mm) |
| Cd, Zn, Pb, Tl | 20 > |
| Sn | 30 > |
| Cu, Fe, Ni, Co | 40 > |

² Da es sich hier nur um die Orientirung der zu Messungszwecken besonders dienlichen Metall-Linien handelt, so sind die Wellenlängen nur mit vier Stellen angeführt, während bei den Messungen im Spectrum von mir stets fünf Stellen in die Rechnung einbezogen wurden.

³ Nach Cornu nummerirt.

⁴ Diese vier Hartley'schen Zahlen sind zu hoch, so dass ich sie nicht benützte, sondern die Kayser'schen Zahlen 2144.5, 2191.7 und 2239.9 als Ausgangspunkt wählte.

der nachfolgenden Anführung der charakteristisch hervortretenden Zink-Linien näher ersichtlich. Die auch in unserer Figur näher bezeichneten Zn-Hauptlinien sind:

| | | | | | | |
|--------------|----|-----------|------------------|---------------------------|-----------|------------------|
| Grün | Zn | | $\lambda = 4924$ | Zn | | $\lambda = 2520$ |
| | Zn | | 4912 | Zn | | 2521 |
| Blau | Zn | | 4810 | Zn | | 2515 |
| | Zn | | 4721.5 | Zn | | 2509 |
| | Zn | | 4679.0 | Zn | | 2501 |
| | Zn | | 3344 | Zn | | 2490 |
| | Zn | | 3302 | Zn | | 2486 |
| | Zn | | 3282 | Zn | | 2442 |
| | Zn | | 3076 | Zn | | 2427 |
| | Zn | | 3072 | Zn | | 2419 |
| Ultraviolett | Zn | | 3035 | Zn | | 2349 |
| | Zn | | 2801 | Zn | | 2138 |
| | Zn | | 2770 | Zn | | 2104 |
| | Zn | | 2755 | Zn | | 2102 |
| | Zn | | 2712 | Zn (Nr. 27 ¹) | | 2099 |
| | Zn | | 2684 | Zn (Nr. 28) | | 2063 |
| | Zn | | 2657 | Zn (Nr. 28) | | 2061 |
| | Zn | | 2608 | Zn (Nr. 29) | | 2024 |
| | Zn | | 2557 | | | |

Von diesen Zinklinien sind die grünen und blauen Linien gute Ergänzungen zu den Cadmiumlinien; dasselbe gilt von vielen ultravioletten Zn-Linien.

Trotzdem das Cadmium im Verein mit Zink gut brauchbare Orientierungsspectren liefert, welche namentlich im brechbareren Ende des Ultraviolett hinlänglich zahlreiche charakteristische Linien aufweist, so erhält man doch erst nach Einbeziehung des Blei-Funkens-Spectrums eine gut geschlossene Bezugs-scala über das ganze Spectrum.

Das Funkenspectrum des Blei enthält gut kennliche Linien im Gelb, Grün, Blau und Violett, sowie mehrere sehr deutliche Linien im Bezirke von $\lambda = 4386$ bis 3573 , welche die grosse Lücke im Linienspectrum des Cadmium-Zink ausfüllen. Die Linien des Bleispectrums erhält man allerdings nur dann genügend rein von Oxydbanden, wenn man die Elektroden einander ziemlich stark nähert und sie vor jedesmaligem Gebrauch vom darauf sich ablagernden Bleioxyd reinigt; auch muss der Inductionsstrom (Ruhmkorff) ein sehr kräftiger und durch mehrere Leydner-Flaschen verstärkt sein. Dann erhält man leicht die Hauptlinien (s. Taf. II, Fig. 3):

| | | | | | | | |
|--------------|----|-----------|-------------------|--------------|-----------|------------------|--------|
| Gelb | Pb | | $\lambda = 5607$ | Pb | | $\lambda = 2822$ | |
| Grün | Pb | | 5373 | Pb | | 2801 | |
| Indigo | Pb | | 4380.0 | Pb | | 2663 | |
| | Pb | | 4245 | Pb | | 2613 | |
| Violett | Pb | | 4062 | Pb | | 2570 | |
| | Pb | | 4058 ² | Pb | | 2502 | |
| | Pb | | 3738.9 | Pb | | 2470 | |
| | Pb | | 3083 | Ultraviolett | Pb | | 2446 |
| | Pb | | 3039 | | Pb | | 2444 |
| | Pb | | 3573 | | Pb | | 2411 |
| Ultraviolett | Pb | | 3170 | | Pb | | 2402 |
| | Pb | | 3137 | | Pb | | 2394 |
| | Pb | | 3043 | | Pb | | 2248 |
| | Pb | | 2949 | | Pb | | 2204.3 |
| | Pb | | 2872 | | Pb | | 2170.0 |
| | Pb | | 2832 | | | | |

¹ Nummerirung nach Soret.

² Von diesen benachbarten Bleiliniien ist Pb, $\lambda = 4058$ die entschieden stärkere und charakteristische. In Watts' "Index of Spectra" (1889) ist irrtümlich diese Bleilinie als die schwächere bezeichnet.

³ Richtiger: $\lambda = 2204.3$ und 2170.0 unter Benützung der Kayser'schen Zahlen.

Aus den erwähnten Gründen habe ich mich zur Herstellung eines Vergleichsspectrums mittels einer Legirung von gleichen Theilen Cadmium, Zink und Blei entschieden,¹ welches ein sehr gut definirtes Band der günstig vertheilten Hauptlinien dieser Metalle gibt. Auf dieses Vergleichsspectrum habe ich das von mir untersuchte (a. a. O.) Kohlenwasserstoff-Spectrum, sowie die weiter unten zu beschreibenden Absorptionsspectren von Glas, das Emissionsspectrum des brennenden Ammoniakgases u. s. w. (vergl. Taf. II, Fig. 1) bezogen.

In manchen Fällen kann es erwünscht sein, das Funkenspectrum des Magnesiums zu Vergleichen heranzuziehen, worauf insbesondere Cornu aufmerksam machte.² Der Magnesium-Funke ist zwar arm an stark brechbaren ultravioletten Strahlen, welche < 2776 sind, aber eine Anzahl von grünen, blauen und ultravioletten Linien (darunter mehrere Triplets) sind höchst charakteristisch (s. Taf. II, Fig. 4):

| | | | | | | | | | |
|--------------|---------------------|------------------|--------------------|--------------|------------------|------|--------------|--------------|--------------|
| | Magnesium | $\lambda = 5183$ | Fraunhofer- | Mg | $\lambda = 2936$ | | | | |
| Grün | Mg | 5172 | sche Linie b_1 , | Mg | 2928 | | | | |
| | | | | | | 5167 | b_2, b_3 . | Mg | 2914 |
| | | | | | | | | | |
| Blaue | Mg | 5704 | | Mg | 2802 | | | | |
| Indigo | Mg | 4481 | | Mg | 2797 | | | | |
| | | | Mg | | | 3838 | Ultraviolett | Mg | 2794 |
| Ultraviolett | Mg | 3832 | | Mg | 2790 | | | | |
| | | | Mg | | | 3829 | Mg | 2782 | |
| | | | | | | | | | Mg |
| | | | Mg | | | 3332 | Mg | 2779 | |
| | | | | | | | | | Mg |
| | | | Mg | | | 3096 | Mg | 2776 | |
| | | | | | | | | | Mg |
| | | | Mg | | | 3090 | | | |

Von diesen Magnesium-Linien erscheinen die grünen und blauen Linien im Quarzspectrographen erst nach längerer Belichtung. Die indigoblaue Mg-Linie 4481, sowie die Linie $\lambda = 2851$, welche eine der intensivsten Linien des Magnesium-Funkenspectrums ist, und die Quadruple-Liniengruppe von $\lambda = 2802$ bis 2790 sind wegen ihrer auffallenden Anordnung³ zur Orientirung sehr gut geeignet (vergl. Taf. I, Fig. 4); bemerkenswerth ist die Eigenschaft der Mg-Linie 2851, dass sie ausserordentlich leicht eine sogenannte »Umkehrung« erleidet, wodurch die helle, von dunklen Rändern umgebene Linie den fälschlichen Eindruck einer Doppellinie macht; Ähnliches tritt bei der Quadruple-Bande bei $\lambda = 2802$ ein. (S. Fussnote.) Es ist ferner bemerkenswerth, dass die photographische Wirksamkeit des Magnesium-Funkens ausserordentlich gross ist. Während z. B. bei meinem Quarzspectrographen das Cadmium- und Zink-Spectrum im Durchschnitte eine Belichtungszeit von 10—20 Minuten benöthigen (s. S. 2), so braucht das Mg-Funkenspectrum bloß eine Belichtungszeit von 15 Secunden, um die Hauptlinien (Mg 2936 und 2928, sowie Mg 2802 bis 2790) zu geben; bei 1—3 Minuten andauernder Belichtung treten schon zahlreiche starke Linien auf und einige der Hauptlinien beginnen schon, sich stark zu verbreitern und erscheinen theilweise umgekehrt.

Mitunter verwende ich auch mit Erfolg zum Vergleiche des Thallium-Funkenspectrums, welches in Tafel I, Fig. 5 abgebildet ist und durch die regelmässige Vertheilung einer grossen Anzahl von Hauptlinien über das Ultraviolet auffällt. Es kommen für Messungszwecke folgende Thallium-Linien in Betracht:

¹ Siehe Eder »Über das Emissionsspectrum schwach leuchtender verbrennender Kohlenwasserstoffe u. s. w. (Denkschr. d. kais. Akad. d. Wissensch. Wien 1890, Bd. LVII.)
² Cornu gibt eine genaue Beschreibung der Verwendung des Mg-Funkenspectrums zum Studium von Spectral- und Interferenz-Erscheinungen. (Eder's Jahrbuch f. Photographie für 1891, S. 183.)
³ Diese Quadruple-Bande des Magnesium-Funkenspectrums ist äusserst intensiv. Es ist bemerkenswerth, dass zwei der hellsten Linien dieser Bande sehr leicht eine Umkehrung erleiden und deshalb verdoppelt erscheinen, indem die scharfe, helle, umgekehrte Linie von dunklen Rändern umgeben ist; Cornu wies zuerst auf diese Erscheinung hin. (Archive des sciences phys. et natur. 15. Juli 1879.)

| | | | | | |
|------|--------------------|------------------|------|--------------|------------------|
| Grün | Thallium | $\lambda = 5350$ | Grün | Tl | $\lambda = 2825$ |
| | Tl | 4110 | | Tl | 2767 |
| | Tl | 3932·7 | | Tl | 2708·6 |
| | Tl | 3776 | | Tl | 2580 |
| | Tl | 3529 | | Tl | 2530 |
| | Tl | 3519 | | Tl | 2452 |
| | Tl | 3381 | | Tl | 2380 |
| | Tl | 3229 | | Tl | 2299 |
| | Tl | 3091 | | | |
| | Tl | 2920·8 | | | |
| | Tl | 2918 | | | |

Im Thallium-Spectrum fehlen charakteristische Linien im äussersten Ultraviolett, beziehungsweise sind die Tl-Linien von $\lambda < 2299$ sehr lichtarm, so dass man zu Ausmessungen im brechbarsten Ultraviolett des Cd-Zn-Spectrum oder dergleichen nicht entbehren kann.

Von mancher Seite wurde das Zinn-Funkenspectrum als Bezugsspectrum empfohlen; Taf. II, Fig. 6 zeigt die Vertheilung und relative Energie der Zinnlinien. Ich ziehe jedoch die Cadmium-Zink-Blei-Legirung vor. Sobald man jedoch das Funkenspectrum des Zinn in der genannten Richtung verwenden will, kommen folgende Linien in Betracht:

| | | | | | | |
|--------------|---|----------------|------------------|---|--------------|------------------|
| Gelb | } | Zinn | $\lambda = 5589$ | } | Sn | $\lambda = 2058$ |
| | | Sn | 5563 | | Sn | 2045 |
| Blau | } | Sn | 5584 | } | Sn | 2643 |
| | | Sn | 5524 | | Sn | 2632 |
| Ultraviolett | } | Sn | 5745 | } | Sn | 2571 |
| | | Sn | 3352 | | Sn | 2595 |
| | | Sn | 3330 | | Sn | 2429 |
| | | Sn | 3283 | | Sn | 2422 |
| | | Sn | 3262 | | Sn | 2355 |
| | | Sn | 3174 | | Sn | 2317 |
| | | Sn | 3033 | | Sn | 2288 |
| | | Sn | 3008 | | Sn | 2270 |
| | | Sn | 3862 | | Sn | 2209 |
| | | Sn | 2848 | | Sn | 2267 |
| | | Sn | 2839 | | Sn | 2247 |
| | | Sn | 2181·3 | | Sn | 2210 |
| | | Sn | 2700 | | Sn | 2194 |
| | | Sn | 2660 | | Sn | 2151 |

Man wird diese Linien nach der beigegebenen heliographischen Abbildung leicht auffinden. Wie man sieht, ist das Zinn-Spectrum von $\lambda < 3352$ reich an wohldefinierten Linien, welche aber weniger charakteristisch sind, als die Linien des Cd-Zn-Pb-Spectrums, welches letztere übrigens auch eine kürzere Belichtungszeit erfordert.

Das Funkenspectrum des Kupfers entsteht schwieriger als die vorhin genannten; es ist noch lichtärmer als das Zinn-Spectrum, seine Hauptlinien treten weniger deutlich hervor und es mischen sich mehr Luftlinien bei, namentlich im weniger brechbaren Theile desselben. Erst von $\lambda < 3307$ fallen reichlichere Hauptlinien des Cu auf. Namentlich sind dies:

| | | | |
|------------------|------------------|--------------|------------------|
| Kupfer | $\lambda = 3307$ | Cu | $\lambda = 2545$ |
| Cu | 3273 | Cu | 2370 |
| Cu | 3247 | Cu | 2295 |
| Cu | 2769 | Cu | 2277 |
| Cu | 2599·7 | Cu | 2136 |
| Cu | 2958 | Cu | 2103 |

Diese Linien sind auch in Taf. I, Fig. 7 näher bezeichnet; übrigens finden sich zahlreiche Linien vom brechbaren Ultraviolett im Kupfer-Funkenspectrum vor.

Es sind überdies noch die sehr linienreichen Funkenspectren des Eisens, Nickels und Kobalts in den Bereich dieser Versuche gezogen worden, und zwar insbesondere mit Rücksicht auf ihre Verwendbarkeit als Lichtquellen zum Studium der Absorptionserscheinungen im Ultraviolett. Wie aus dem in Taf. II, Fig. 8 publicirten Funkenspectrum des Eisens hervorgeht, weist der Bezirk von beiläufig $\lambda = 3500$ bis $\lambda = 3000$ eine merklich geringere Energie auf, als die Region von Violett bis beiläufig $\lambda = 3500$; erst bei längerer Belichtung kommt das Spectrumbild an diesem Bezirke sehr linienreich zum Vorschein.

Die Region von circa $\lambda = 3000$ bis 2300 wirkt sehr kräftig auf Bromsilbergelatine und zeigt ein eng geschlossenes Linienband. Da aber die Energie des Eisenspectrums in der Gegend von $\lambda = 2300$ ziemlich rasch sinkt und die Linien von kleinerer Wellenlänge nur schwach wirksam sind, so erscheint das Eisenspectrum zum Studium von Absorptionserscheinungen, speciell in der Gegend von $\lambda < 2330$, nicht gut verwendbar.

Das Funkenspectrum des Nickels und Kobalts verhält sich ähnlich (Taf. II, Fig. 9 und 10); bei diesen beiden Metallen reicht das linienreiche Band weiter gegen das brechbarere Ende, und insbesondere das Nickelspectrum büsst seine Lichtkraft erst bei $\lambda < 2150$ ein. Deshalb empfehle ich das leicht zu beschaffende »Reinnickel« des Handels (in Drahtform) als Lichtquelle (im Funkenspectrum) zum Studium von Absorptionserscheinungen mehr als das Eisen.

Es wäre noch zu erwähnen, dass das Funkenspectrum des Wolframs ähnlich demjenigen des Fe, Ni und Co, sehr linienreich ist; es besitzt jedoch keine wesentlich günstigere Vertheilung der Linien; es reicht nicht weiter ins Ultraviolett als die Spectren von Ni und Co; dagegen hat das Wolfram den Nachtheil, dass die Energie seines Funkenspectrums geringer als diejenige von Fe, Ni oder Co ist, und man beiläufig $1\frac{1}{2}$ mal länger als bei diesen Metallen belichten muss.

Mitunter benützte ich auch mit Erfolg das Funkenspectrum des Aluminium oder Silbers als Leit-spectren; sie sind in Fig. 12 und 13 abgebildet.¹

Es erschien mir ferner von Wichtigkeit, auch die ultravioletten Spectren

1. des brennenden Magnesiums;
2. des Drummond'schen Magnesia- und Zirkon-Lichtes;
3. des elektrischen Bogenlichtes

in diese vergleichenden Versuche einzubeziehen, da sie als Lichtquellen von grosser Helligkeit im Ultraviolett bekannt sind; der Vergleich der Spectrumphotographien dieser drei Lichtquellen unter einander ist durch Taf. II, Fig. 6—10 ermöglicht; zur besseren Übersichtlichkeit ist das Spectrum des Sonnenlichtes (mittels desselben Quarspectrographen hergestellt) auf derselben Tafel abgebildet. Die Spectren dieser Tafel wurden mittels gewöhnlicher Bromsilbergelatineplatten (ohne Farbensensibilisator) photographirt, ausgenommen Spectrum 9 und 10, welches mit Erythrosin-Platten hergestellt wurde, wie man an dem Sensibilisierungsmaximum am weniger brechbaren Ende wahrnimmt.

Das abgebildete Sonnenspectrum (Taf. II, Fig. 2) wurde an einem klaren Septembertage photographirt, und es erstreckte sich bis zur Fraunhofer'schen Linie S (nach Cornu). Für die Zwecke einer anderen Versuchsreihe photographirte ich auf derselben Platte das Absorptionsspectrum einer 1 cm dicken planparallelen Crown-Glasplatte (s. Taf. II, Fig. 4), sowie das Absorptionsspectrum einer ebenso dicken Uranglasplatte (Taf. II, Fig. 5), wobei natürlich gleiche Belichtungszeiten (2 Secunden) eingehalten worden waren. Für derartige Absorptionsversuche im Ultraviolett ist das Sonnenlicht gut verwendbar; zum Studium der Absorptionserscheinungen gewisser anderer Glassorten (z. B. der Phosphatgläser) ist jedoch das Sonnenlicht zu arm an stärker brechbaren ultravioletten Strahlen.

¹ Das Aluminiumspectrum in Taf. II, Fig. 12 ist mit Eisenlinien verunreinigt.

Das Spectrum des brennenden Magnesiums erstreckt sich bei genügender Belichtung weiter gegen das brechbarere Ende des Ultraviolett, als dies bei dem Sonnenspectrum, wie es bei unseren Witterungsverhältnissen für gewöhnlich zur Verfügung steht, der Fall ist. Das in Taf. II, Fig. 6 abgebildete Spectrum des brennenden Magnesiums wurde durch eine 3 Minuten andauernde Belichtung (Spaltöffnung 0.02 mm) erhalten und zum Vergleiche ein schwaches Funkenspectrum von Magnesiummetall daneben photographirt (Taf. II, Fig. 7). Es geht daraus hervor, dass das brennende Magnesium ein nahezu continuirliches Spectrum liefert, welches sich mit genügender Helligkeit über den ganzen sichtbaren und ultravioletten Theil bis gegen $\lambda = 2800$ erstreckt. Die Helligkeit der brechbareren Strahlen ist von da ab nur mehr eine geringe und das Spectrumband dehnt sich selbst bei langer Belichtung nur verhältnissmässig langsam gegen das brechbarere Ende des Spectrums aus. Dieses Spectrum weist einige charakteristische Magnesiumoxyd-Banden, sowie Mg-Metall-Linien auf, welche besonders Liveing und Devar¹ genau beschrieben haben. Es fällt insbesondere die stark umgekehrte und verbreiterte Magnesium-Linie $\lambda = 2851$ auf; dieselbe Linie tritt im Magnesium-Funkenspectrum auf und ist in Taf. II, Fig. 8 deutlich sichtbar. Ferner sind die Mg-Triplets im Grün ($\lambda = 5183, 5172$ und 5167), sowie die bei der Verbrennung von Magnesium in der Luft charakteristisch auftretenden Magnesiumoxyd-Banden deutlich kennbar², welchen (nach Liveing und Devar) die Wellenlänge

| | | | |
|-------------------------|------------------|----------------|------------------|
| Magnesiumoxyd | $\lambda = 5000$ | Mg O | $\lambda = 4957$ |
| Mg O | 4990 | Mg O | 4948 |
| Mg O | 4980 | Mg O | 4974 |
| Mg O | 4969 | | |

zukommt. Das brennende Magnesium wäre vermöge seines ziemlich continuirlichen Emissionspectrums als Lichtquelle für Absorptionsversuche für den Spectralbezirk $\lambda > 2800$ brauchbar, wenn nicht der Magnesiumoxyd-Rauch äusserst belästigend und das unruhige Brennen der Magnesium-Flamme höchst störend wäre; für Untersuchungen im stärker brechbaren Ultraviolett lässt uns das brennende Magnesium im Stiche.

Es erschien mir der Vergleich bezüglich der Helligkeitsvertheilung dieser Lichtquelle mit dem Spectrum des Magnesia-Knallgas-Lichtes von Interesse und ich brachte einen Stift von Magnesia zu diesem Zwecke mittels eines Linnemann'schen Gebläses (Sauerstoff-Leuchtgas) zur Weissglut; dieses Licht hatte ungefähr die gleiche optische Helligkeit wie das brennende Magnesium-Band (nämlich circa 80 Kerzen). Bei der photographischen Aufnahme im Quarzspectrographen erwies sich die relative Helligkeit des Magnesia-Knallgas-Lichtes im Roth, Gelb, Grün und Blau grösser als beim Magnesium-Licht; dagegen nahm die Intensität der stärker brechbaren Strahlen beim Drummond'schen Lichte rascher ab; es musste die Belichtungszeit ungefähr viermal länger genommen werden, um ein deutliches ultraviolettes Spectrum in den brechbareren Spectralbezirken zu erhalten, und trotz dieser längeren Belichtungszeit erstreckt sich die Wirkung weniger weit ins Ultraviolett. Ähnlich verhält sich Drummond'sches Kalk- und Zirkon-Licht. Alle diese mittels des Sauerstoff-Leuchtgasgebläses hergestellten Lichtquellen geben nur im Anfange des Ultraviolett, d. i. beiläufig bis $\lambda = 3500$ eine genügende Helligkeit, wie auch Taf. II, Fig. 8 deutlich zeigt. Die Spectren des Drummond'schen Lichtes sind continuirlich, mit Ausnahme der auftretenden Hauptlinien des brennenden Oxyhydrogen-Gases (s. Band $H_2 O_n$ und $H_2 O_3$ in Taf. II, Fig. 8), sowie des Swan'schen Spectrums (insbesondere: C-Bande ζ). Ferner bemerkt man einzelne Metall-Linien, z. B. die Magnesium-Linie $\lambda = 2851$. Da die Intensität des Magnesia-Knallgas-Lichtes bei der angegebenen Belichtungszeit nur bis ungefähr $\lambda = 3600$ eine namhafte ist und von $\lambda = 3600$ bis circa 3500 schon merklich sinkt, so folgt, dass man diese Lichtquelle zu Absorptionsversuchen nur mit Erfolg für das

¹ Kayser, Spectralanalyse 1883, S. 293.

² An den Originalnegativen sind die Banden sehr deutlich; die Heliogravure gibt sie verschwommen.

³ Das Leuchtgas strömte unter dem gewöhnlichen Drucke aus einer Gasleitung aus, der Sauerstoff mit einem Drucke von 15–20 cm Quecksilber.

sichtbare Spectrum bis zur Region $\lambda = 3500$ benützen kann; verlängert man die Belichtungszeit, um weitere Bezirke des Ultraviolett photographiren zu können, so entstehen in den weniger brechbaren Spectralbezirken häufig störende Erscheinungen von Über-Exposition (Lichthöfe, Irradiations-Erscheinungen, Solarisation).

Das Sonnenlicht ist für Absorptionsversuche im Ultraviolett günstiger als das Drummond'sche Licht, da man bei einigermaßen klarem Sonnenschein darauf rechnen kann, das Sonnenspectrum mittels des Quarzspectrographen bis zur Fraunhofer'schen Linie S_2 (nach Cornu $\lambda = 3099.5$) photographiren zu können. Freilich ist die Helligkeit des Sonnenspectrums in der Regel von R ab nicht mehr bedeutend.

Genügend weit in die stärker brechbaren Regionen des Ultraviolett erstreckt sich weder das Sonnenlicht, noch das Magnesium- oder Drummond'sche Licht, sondern man muss zum Funkenspectrum (mittels eines kräftigen Ruhmkorff'schen Inductors) greifen. Nicht so weit wie die letztere, aber weiter als die erstgenannten Lichtquellen, reicht das Licht des elektrischen Flammenbogens.

Es stand mir eine Bogenlampe von ungefähr 3000 Kerzen Helligkeit zur Verfügung (Gleichstrom) welche von der Firma Siemens für meine Versuche freundlichst beigegeben worden war. Das Bogenlicht wurde unter den günstigsten Helligkeitsverhältnissen zum Einfallen in den Spectrographen gebracht und ein Spectrumbild mit einer Belichtungszeit von 5 Secunden bis 3 Minuten hergestellt. Die kürzere Belichtung ergab eine gut definirte Photographie der linienreichen Kohlenbanden (Cyan-Gruppe Nr. 2, 3 und 4 nach Kayser); bei der verlängerten Belichtung tritt das continuirliche Spectrum bis gegen $\lambda = 2530$ und darüber immer kräftiger hervor, indem zugleich viele Eisen-, Calcium-Linien etc. sichtbar werden, wovon einige in Taf. II, Fig. 10 angezeigt sind. Die auffallendsten, eventuell zur Orientirung im Spectrum, Liniengruppen im Spectrum des elektrischen Kohlen-Flammenbogens sind:

| | | |
|--------------------------------------|-----------------|------|
| Cyan-Bande Nr. 2 (nach Kayser) . . . | mit $\lambda =$ | 4216 |
| | | 4197 |
| | | 4181 |
| | | 4107 |
| Cyan-Bande Nr. 3 (nach Kayser) . . . | mit $\lambda =$ | 3884 |
| | | 3872 |
| | | 3862 |
| | | 3855 |
| Cyan-Bande Nr. 4 (nach Kayser) . . . | mit $\lambda =$ | 3590 |
| | | 3580 |
| | | 3584 |

dann zahlreiche Eisenlinien, darunter $\text{Fe} = \lambda = 3099$ (zusammenfallend mit der Fraunhofer'schen Linie S_2 im Sonnenspectrum, Cornu), ferner die intensive Liniengruppe

| | | |
|-------------------|-------------|------|
| Fe . . . | $\lambda =$ | 2527 |
| | | 2508 |
| | | 2478 |

Von da ab wird das Spectrum des elektrischen Bogenlichtes lichtarm.

Schliesslich erwähne ich noch das Funkenspectrum der Kohle, welches ich durch Überspringen des Inductionsfunkens zwischen Kohlenstiften (geschnitten aus derselben Kohle, mit welcher die Siemens'sche Bogenlampe versehen ist) herstellte. Hiebei ergaben sich die charakteristischen Kohlenlinien, welche in ihrer Gesamtheit mit dem Bogenspectrum nicht übereinstimmen, worauf insbesondere Hartley und Adeney¹ aufmerksam machen. Es kommen hier vor Allem die Bande

| | | |
|------------|-----------|------------|
| Cyan Nr. 2 | λ | siehe oben |
| > > 3 | > > > | |
| > > 4 | > > > | |

¹ Philosophical Transact. Royal Soc. 1881.

in Betracht, ferner

| | | |
|-------------|-----|------|
| C | λ = | 3837 |
| | | 3830 |
| C | | 2511 |
| C | | 2508 |
| C | | 2478 |
| C | | 2297 |

welche Hartley und Adeney (a. a. O.) gelegentlich der Beschreibung des Funkenspectrums vom Graphit als charakteristische Linien des Kohlen-Funkenspectrums angaben.

Diese wichtigeren Kohlenlinien des Funkenspectrums sind in Taf. II, Fig. 1 photographisch reproducirt und die Wellenlängen eingeschrieben; daneben finden sich noch Luft-, Eisen- und Calcium-Linien etc., welche letztere auf Verunreinigungen der Kohle zurückzuführen sind.

Das Funkenspectrum der Kohle kann zufolge seiner ungünstigeren Vertheilung seiner Hauptlinien das von mir verwendete Vergleichsspectrum einer Legierung von Cadmium + Zink + Blei nicht ersetzen, weshalb ich das letztere, unter eventueller Mitbenützung anderer oben genannter Metallspectren als Vergleichsspectrum für meine weiteren Studien im Ultraviolett verwendete und theilweise das elektrische Bogenlicht (besonders für Absorptionsversuche in den angegebenen Spectralbezirken) gleichfalls zur Anwendung brachte.

Bei der Bestimmung der Wellenlänge einer unbekanntem Linie, welche zwischen zwei Linien von bekannter Wellenlänge liegt, benützte ich die einfache Interpolation, sobald die Differenz der Wellenlängen der Leitlinien z. B. nicht grösser als 30—35 AE war. Wenn dagegen der Intervall grösser war, so rechnete ich nach der folgenden Formel (aus Watts' Index of Spectra, S. X):

$$\lambda_2^2 = \frac{n_3 - n_1}{\frac{n_2 - n_1}{\lambda_3^2} + \frac{n_3 - n_2}{\lambda_1^2}},$$

wobei n_3 und n_1 die Scalentheile des Messapparates der zwei bekannten Linien, λ_3 und λ_1 die denselben entsprechenden Wellenlängen sind; n_2 ist Scalenziffer für die zu messende Linie und λ_2 die zu ermittelnde dazugehörige Wellenlänge.

Zur Ausmessung der Wellenlänge der Linien meiner Spectrumphotographien benützte ich bis jetzt die Hartley-Adeney'schen Funkenspectren; die genannten Spectroskopiker studirten eine grosse Anzahl von Funkenspectren sehr genau und gaben sehr genau Tabellen der Wellenlänge zahlreicher Elemente. Die Hartley-Adeney'schen Zahlen lehnen sich an die Angström-Cornu'schen Normalzahlen an, sowie an die Thalen'schen Wellenlängen.

In Anbetracht des Umstandes, dass in neuerer Zeit Kayser und Runge, Ames u. A. aber die Rowland'schen Normalzahlen der Wellenlängen ihren spectroscopischen Beobachtungen zu Grunde legten, erscheint der Vergleich beider Zahlenwerthe erwünscht. Die nachstehende, von Watts mitgetheilte Tabelle² ermöglicht diese Umrechnung für Linien von $\lambda > 2160$ mit genügender Genauigkeit:

¹ Die Wellenlänge dieser Kohlenlinien sind in Hartley-Adeney's Abhandlung (a. a. O.) enthalten.

² Report, Brit. Assoc. Advancement of Science. London 1887, S. 224.

Correctionstabelle zur Reduction der Angström'schen und Cornu'schen Zahlen auf Rowland'sche Wellenlängen.

| Wellenlänge | Correction | Wellenlänge | Correction | Wellenlänge | Correction |
|---------------------------|------------|---------------------------|------------|---------------------------|------------|
| Über 6930 | + 1.7 | Von $\lambda = 5540-5485$ | + 1.0 | Von $\lambda = 4040-3850$ | + 0.7 |
| Von $\lambda = 6930-6880$ | + 1.6 | 5485-5435 | + 0.9 | 3850-3730 | + 0.6 |
| 6880-6820 | + 1.5 | 5435-5350 | + 1.0 | 3730-3720 | + 0.5 |
| 6820-6800 | + 1.4 | 5350-5335 | + 0.9 | 3720-3660 | + 0.4 |
| 6800-6765 | + 1.3 | 5335-5325 | + 1.0 | 3660-3640 | + 0.8 |
| 6765-6720 | + 1.2 | 5325-5300 | + 0.9 | 3640-3620 | + 0.6 |
| 6720-6660 | + 1.1 | 5300-5175 | + 1.0 | 3620-3530 | + 0.8 |
| 6660-6230 | + 1.0 | 5175-5150 | + 0.9 | 3530-3480 | + 0.6 |
| 6230-6180 | + 0.9 | 5150-4990 | + 0.8 | 3480-3470 | + 0.8 |
| 6180-6155 | + 1.0 | 4990-4970 | + 0.9 | 3470-3440 | + 0.7 |
| 6155-6135 | + 1.1 | 4970-4935 | + 1.0 | 3440-3420 | + 1.1 |
| 6135-6130 | + 1.0 | 4935-4865 | + 0.9 | 3420-3360 | + 1.7 |
| 6130-6110 | + 0.9 | 4865-4740 | + 1.0 | 3360-3330 | + 2.5 |
| 6110-6080 | + 1.0 | 4740-4650 | + 0.9 | 3330-3290 | + 2.2 |
| 6080-6060 | + 1.1 | 4650-4470 | + 0.8 | 3290-3280 | + 2.0 |
| 6060-6000 | + 1.0 | 4470-4380 | + 0.7 | 3280-3240 | + 1.9 |
| 6000-5970 | + 0.9 | 4380-4170 | + 0.6 | 3240-3220 | + 1.8 |
| 5970-5810 | + 1.0 | 4170-4130 | + 0.8 | 3220-3190 | + 0.8 |
| 5810-5780 | + 0.9 | 4130-4100 | + 0.8 | 3190-3160 | + 0.4 |
| 5780-5610 | + 1.0 | 4100-4060 | + 0.7 | | |
| 5610-5540 | + 1.1 | 4060-4040 | + 0.6 | | |

Die Hartley-Adeney'schen Zahlen lassen sich, soweit es sich um Wellenlängen > 3700 handelt mit genügender Genauigkeit mittels der obenstehenden Correctionstabelle auf die Wellenlängen des Rowland'schen Normalspektrums, beziehungsweise auf Kayser-Runge'sche Zahlen umrechnen.

Für Wellenlängen < 3700 kann zur approximativen Correction der Hartley-Adeney'schen Zahlen folgende Tabelle, welche gewissermassen eine Ergänzung obiger Tabelle ist, dienen:

Correctionstabelle zur Reduction der Hartley-Adeney'schen Zahlen auf Rowland'sche Wellenlängen

| Wellenlänge | Correction | Wellenlänge | Correction | Wellenlänge | Correction |
|---------------------------|------------|---------------------------|------------|---------------------------|------------|
| Von $\lambda = 4100-4050$ | + 0.7 | Von $\lambda = 3350-3200$ | + 0.8 | Von $\lambda = 2550-2500$ | + 1.0 |
| 4050-4000 | + 0.6 | 3200-3120 | + 0.8 | 2500-2450 | + 0.8 |
| 4000-3800 | + 0.5 | 3120-3080 | + 0.9 | 2450-2420 | + 0.5 |
| 3800-3700 | + 0.4 | 3080-3040 | + 0.6 | 2420-2390 | + 0.1 |
| 3700-3660 | + 0.5 | 3040-3020 | + 0.8 | 2390-2370 | - 0.1 |
| 3660-3640 | + 0.8 | 3020-2900 | + 0.9 | 2370-2300 | - 0.4 |
| 3640-3600 | + 1.1 | 2900-2850 | + 0.8 | 2300-2260 | - 0.7 |
| 3600-3500 | + 0.8 | 2850-2800 | + 0.8 | 2260-2240 | - 1.4 |
| 3500-3450 | + 0.9 | 2800-2750 | + 1.0 | 2240-2100 | - 1.7 |
| 3450-3400 | + 0.8 | 2750-2600 | + 0.9 | 2220-2140 | - 2.0 |
| 3400-3350 | + 0.9 | 2600-2550 | + 0.8 | | |

Genauer ergeben sich die Beziehungen zwischen den Hartley-Adeney'schen Wellenlängen meiner Bezugsspektren und den Kayser-Runge'schen Wellenlängen (welche sich sehr den Rowland'schen Zahlen nähern) aus folgender Tabelle; diese Tabelle repräsentirt die Hauptlinien des von mir für gewöhnlich benützten Funkenspektrums der Legirung von Cadmium + Zink + Blei sammt den dazugehörigen Wellenlängen einerseits nach Hartley-Adeney (zum Theile im Anschluss an Angström und Cornu), anderseits nach Kayser und Runge (im Anschlusse an Rowland). In diese Tabelle sind ausser Cd + Zn + Pb, noch die Funkenspektren des Magnesiums, Thalliums und einige wichtige Aluminiumlinien aufgenommen, denn diese Metall-Linien leisten im Bezugsspektrum mitunter sehr gute Dienste. Gleichzeitig ist die Intensität der Linien der Funkenspektren angegeben, indem (analog dem Watts'schen »Index«) die Intensität der hellsten Linie $i = 10$, der schwächsten $i = 1$ gesetzt wurde.

| i | Metall | Wellenlängen nach | | Differenz Δ | i | Metall | Wellenlängen nach | | Differenz Δ |
|----|--------|-----------------------------|---------------------------|-------------|----|--------|-----------------------------|---------------------------|-------------|
| | | Hartley-Adeney ¹ | Kayser-Runge ² | | | | Hartley-Adeney ¹ | Kayser-Runge ² | |
| 2 | Cd | 4115·2 | | | 7 | Cd | 3084·3 | | |
| 8 | Tl | 4109·4 | | | 8 | Zn | 3075·6 | 3076·0 | Δ = +0·4 |
| 3 | Pb | 4061·5 | | | 8 | Zn | 3071·7 | 3072·2 | Δ = +0·5 |
| 6 | | 4057·6 | | | 8 | Zn | 3035·4 | 3035·9 | Δ = +0·5 |
| 8 | Luft | 3994·5 | | | 4 | Zn | 3017·5 | 3018·3 | Δ = +1·0 |
| 8 | Tl | 3932·7 | | | 7 | Cd | 2979·9 | 2980·8 | Δ = +0·9 |
| 4 | Mg | 3896·0 | | | 6 | Cd | 2947·1 | | |
| 4 | | 3892·0 | | | 10 | Mg | 2935·8 | 2936·6 | Δ = +0·8 |
| 4 | Mg | 3855·5 | | | 10 | | 2928·1 | 2928·7 | Δ = +0·6 |
| 4 | | 3849·5 | | | 8 | Tl | 2920·8 | 2921·6 | Δ = +0·8 |
| 7 | Pb | 3842·9 ³ | | | 10 | | 2917·7 | 2918·4 | Δ = +0·7 |
| 10 | Mg | 3837·9 | 3838·4 | Δ = +0·5 | 8 | Mg | 2913·8 | 2915·6 | Δ = +1·8 |
| 10 | | 3832·1 | 3832·5 | Δ = +0·4 | 7 | Cd | 2880·1 | 2881·0 | Δ = +1·0 |
| 10 | | 3829·0 | 3829·9 | Δ = +0·9 | 7 | Pb | 2872·3 | | |
| 10 | Tl | 3775·6 | 3775·9 | Δ = +0·3 | 10 | Mg | 2854·2 | 2852·2 | Δ = +1·0 |
| 7 | Pb | 3738·9 | | | 7 | Cd | 2830·1 | 2837·0 | Δ = +0·9 |
| 6 | Al | 3713·4 | | | 7 | Pb | 2832·2 | | |
| 5 | | 3701·6 | | | 7 | Pb | 2822·1 | | |
| 8 | Pb | 3682·9 | | | 10 | Mg | 2801·6 | 2802·8 | Δ = +0·8 |
| 7 | Pb | 3639·2 | | | 10 | Pb | 2801·4 | 2802·1 | Δ = +0·7 |
| 8 | Cd | 3611·8 | 3610·7 | | 8 | Zn | 2800·1 | | |
| 8 | | 3609·0 | | | 9 | Mg | 2790·9 | 2798·0 | Δ = +1·1 |
| 10 | Tl | 3528·8 | 3529·6 | Δ = +0·8 | 6 | Mg | 2781·8 | 2783·1 | Δ = +1·3 |
| 10 | | 3518·6 | 3519·4 | Δ = +0·8 | 8 | Zn | 2770·2 | 2771·0 | Δ = +0·8 |
| 8 | Tl | 3455·8 | | | 10 | Tl | 2767·1 | 2768·1 | Δ = +1·0 |
| 10 | Cd | 3466·8 | 3467·8 | Δ = +1·0 | 9 | Cd | 2747·7 | 2748·7 | Δ = +1·0 |
| 10 | | 3465·4 | 3466·3 | Δ = +0·9 | 2 | Zn | 2711·5 | 2712·6 | Δ = +1·1 |
| 10 | Cd | 3402·9 | 3403·7 | Δ = +0·8 | 4 | Tl | 2709·4 | 2710·7 | Δ = +1·3 |
| 8 | Tl | 3381·3 | | | 8 | | 2708·6 | 2709·3 | Δ = +0·7 |
| 10 | Zn | 3344·4 | 3345·6 | Δ = +1·2 | 7 | Pb | 2662·5 | | |
| 6 | Mg | 3336·2 | 3336·8 | Δ = +0·6 | 9 | Al | 2630·6 | | |
| 6 | | 3331·8 | 3332·3 | Δ = +0·5 | 10 | Pb | 2613·4 | | |
| 6 | | 3329·1 | 3330·1 | Δ = +1·0 | 4 | Zn | 2607·6 | 2608·7 | Δ = +0·9 |
| 10 | Zn | 3301·7 | 3302·7 | Δ = +1·0 | 8 | Tl | 2579·7 | 2580·2 | Δ = +0·5 |
| 8 | Zn | 3281·7 | 3282·4 | Δ = +0·7 | 7 | Pb | 2576·4 | | |
| 7 | Cd | 3260·2 | 3261·2 | Δ = +1·0 | 7 | Al | 2574·1 | 2575·0 | Δ = +0·9 |
| 5 | Cd | 3251·8 | 3252·6 | Δ = +0·8 | | | 2575·2 | | Δ = +1·1 |
| 7 | Cd | 3249·5 | | | 9 | Cd | 2572·2 | 2573·1 | Δ = +0·9 |
| 8 | Tl | 3229·0 | 3229·9 | Δ = +0·9 | 7 | Al | 2566·9 | 2568·0 | Δ = +1·1 |
| 9 | Pb | 3176·0 | | | 10 | Zn | 2557·3 | 2558·0 | Δ = +0·7 |
| 8 | Tl | 3162·6 | | | 8 | Tl | 2530·0 | | |
| | Cd | 3172·9 | | | 8 | Zn | 2526·3 | | |
| 7 | Cd | 3161·0 | | | 8 | Zn | 2521·3 | | |
| 7 | Pb | 3137·3 | | | 8 | Zn | 2514·7 | 2516·0 | Δ = +1·7 |
| 5 | Cd | 3132·5 | 3133·3 | Δ = +0·8 | 8 | Zn | 2508·7 | | |
| 7 | Cd | 3129·6 | | | 10 | Zn | 2501·5 | 2502·1 | Δ = +0·6 |
| 10 | Mg | 3096·2 | 3097·1 | Δ = +0·9 | 8 | Zn | 2490·4 (?) | 2491·7 | Δ = +1·3 |
| 7 | Cd | 3095·0 | | | 8 | Zn | 2485·9 | | |
| 9 | Al | 3091·9 | 3092·8 | Δ = +0·9 | 2 | Zn | 2479·2 | 2479·9 | Δ = +0·7 |
| 8 | Mg | 3091·9 | 3093·1 | Δ = +1·2 | 6 | Cd | 2469·3 | | |
| 10 | Tl | 3091·0 | | | 6 | Tl | 2468·9 | | |
| 8 | Mg | 3089·9 | 3091·2 | Δ = +1·3 | 8 | Tl | 2451·9 | | |
| 9 | Al | 3081·2 | 3082·3 | Δ = +1·1 | 4 | Zn | 2441·6 | | |

¹ Funkenspectrum.

² Bogenspectrum.

³ Ist unsicher abzulesen.

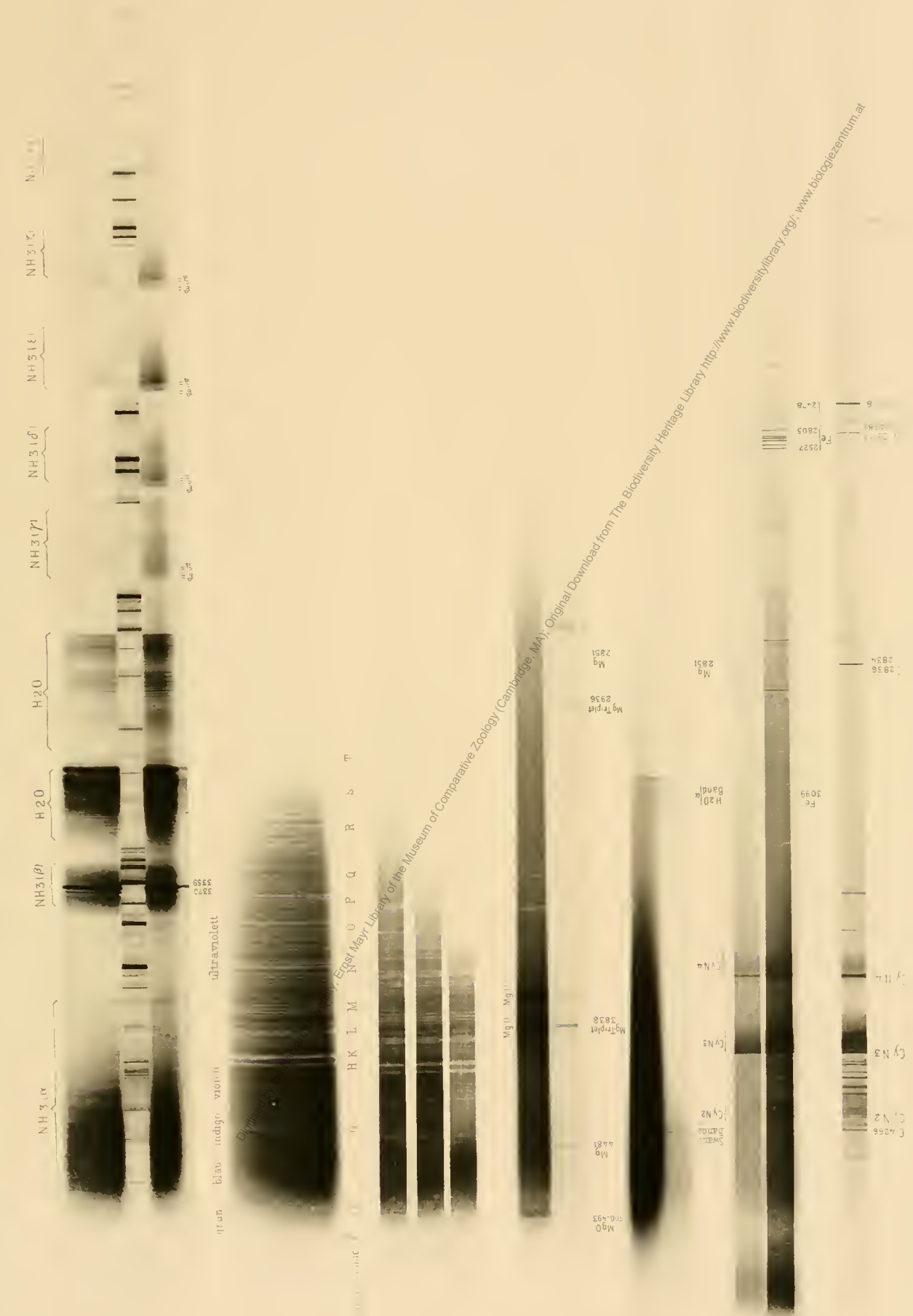
| i | Metall | Wellenlängen nach | | Differenz Δ | i | Metall | Wellenlänge nach | | Differenz Δ |
|----|--------|-------------------|--------------|-------------|---|--------|------------------|--------------|-------------|
| | | Hartley-Adeney | Kayser-Runge | | | | Hartley-Adeney | Kayser-Runge | |
| 8 | Zn | 2427·0 | 2427·1 | Δ = +0·1 | 9 | Cd | 2288·9 | 2288·1 | Δ = -0·8 |
| 8 | Zn | 2418·8 | | | 9 | Cd | 2265·9 | 2265·1 | Δ = -0·8 |
| 2 | Pb | 2411·2 | | | 7 | Pb | 2247·9 | 2246·9 | Δ = -1·0 |
| 3 | Pb | 2402·1 | | | 6 | Cd | 2241·4 | 2239·9 | Δ = -0·5 |
| 7 | Pb | 2393·7 | 2393·9 | Δ = +0·0 | 7 | Pb | 2204·3 | | |
| 7 | Al | 2373·3 | {2373·5} | Δ = -0·1 | 8 | Cd | 2196·4 | 2194·7 | Δ = -1·7 |
| | | | {2373·2} | | 3 | Pb | 2170·0 | | |
| 7 | Al | 2372·0 | 2372·2 | Δ = -0·1 | 8 | Cd | 2146·8 | 2144·5 | Δ = -2·3 |
| 8 | Tl | 2380·0 | 2379·7 | Δ = -0·3 | 4 | Zn | 2138·5 | 2138·3 | Δ = -0·2 |
| 6 | Tl | 2364·8 | 2362·2 (?) | Δ = -2·6 | 2 | Cd | 2111·5 | | |
| | | | 2363·8 | Δ = -0·7 | 2 | Zn | 2104·2 | | |
| 7 | Al | 2364·5 | {2363·5} | Δ = -1·0 | 2 | Zn | 2102·0 | | |
| | | | (2348·5) | | 1 | Zn | 2099·0 | | |
| 4 | Zn | 2348·7 | | | 2 | Zn | 2099·9 | | |
| 7 | Cd | 2329·5 | 2329·4 | Δ = -0·1 | 2 | Zn | 2085·4 | | |
| 9 | Cd | 2321·0 | 2321·2 | Δ = -0·4 | 2 | Zn | 2062·8 | | |
| 10 | Cd | 2313·6 | 2313·0 | Δ = -0·6 | 1 | Zn | 2060·8 | | |
| 8 | Cd | 2307·0 | 2306·7 | Δ = -0·3 | 1 | Zn | 2024·2 | | |
| 8 | Tl | 2299·3 | (2298·5) | | | | | | |

Kayser-Runge'sche Zahlenwerthe benützt werden

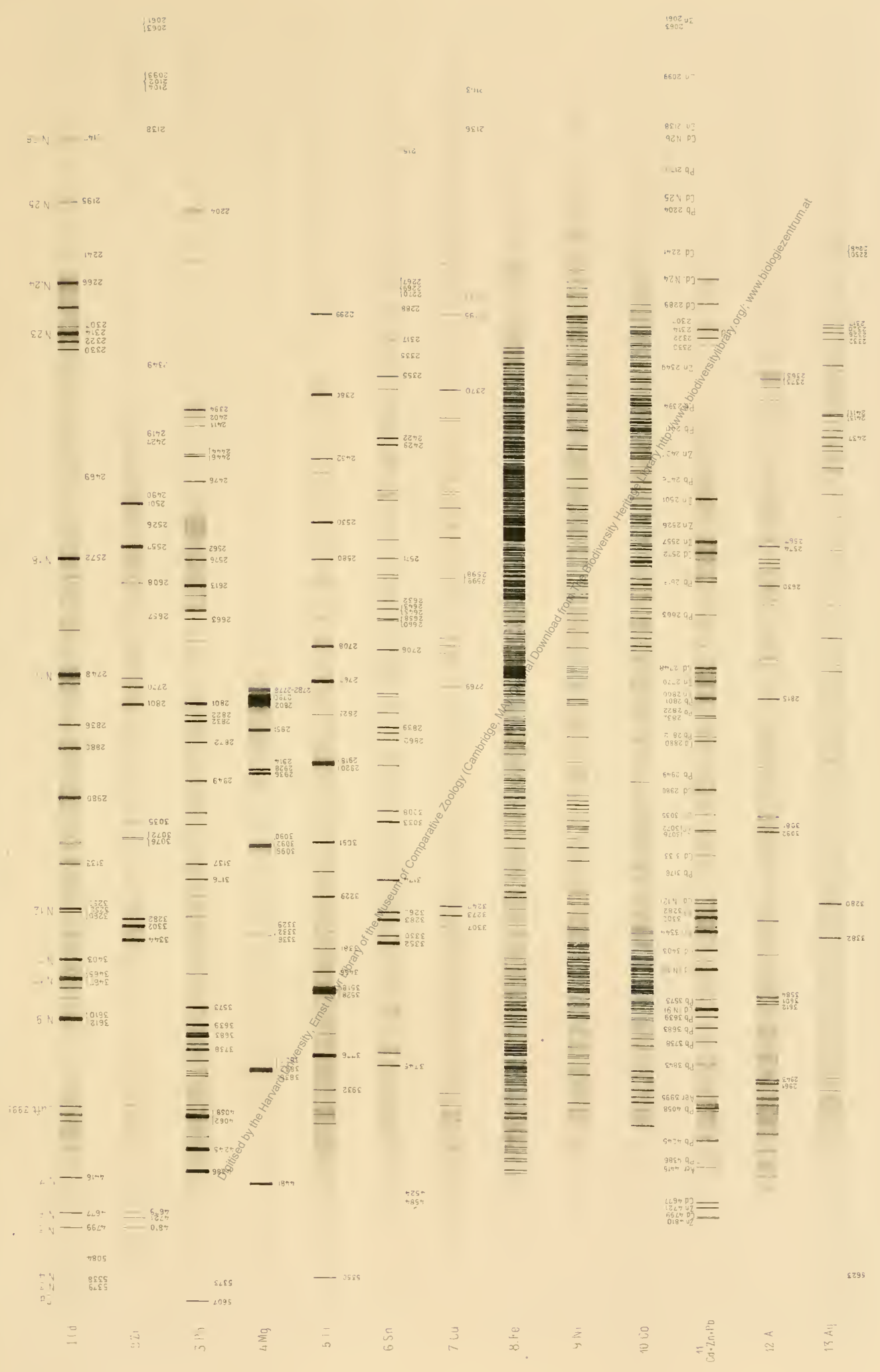
Von da ab sind die Hartley-Adeney'schen Zahlen zu ungenau und es sollen nur

Digitised by the Harvard University, Ernst Mayr Library of the Museum of Comparative Zoology (Cambridge, MA); Original Download from The Biodiversity Heritage Library (http://www.biodiversitylibrary.org/); www.biodiversitylibrary.org

J. M. Eder: 1. Emissionsspectrum der Ammoniak-Oxygen-Flamme. — 2 bis 11. Bestimmung der Wellenlänge im Ultraviolethen.



1. Emissionsspectrum des Ammoniak.
2. Sonnenspectrum im Quarzspectrograph.
3. Desgleichen, mit etwas kürzer Belichtungszeit.
4. Absorptionsspectrum von Leicht-Flintglas (1 mm dick).
5. " " Uranglas.
6. Emissionsspectrum von brennendem Magnesiumdraht.
7. Funkenspectrum des Magnesiums.
8. Spectrum des Drummond'schen Lichtes mittels Magnesiumoxyd.
9. Spectrum des elektrischen Flammenbogens zwischen Kohlen-Elektroden.
10. Dasselbe, mit längerer Belichtungszeit.
11. Funkenspectrum der bei Nr. 9 verwendeten Kohle.



1. Funkenspectrum von Cadmium.
2. " " Zink.
3. " " Blei.
4. " " Magnesium.
5. " " Thallium.
6. " " Zinn.
7. " " Kupfer.

8. Funkenspectrum von Eisen.
9. " " Nickel.
10. " " Cobalt.
11. " " einer Legierung von Cadmium, Zink und Blei.
12. " " von Aluminium.
13. " " Silber.

ZOBODAT - www.zobodat.at

Zoologisch-Botanische Datenbank/Zoological-Botanical Database

Digitale Literatur/Digital Literature

Zeitschrift/Journal: [Denkschriften der Akademie der Wissenschaften.Math.Natw.Kl. Früher: Denkschr.der Kaiserlichen Akad. der Wissenschaften. Fortgesetzt: Denkschr.oest.Akad.Wiss.Mathem.Naturw.Klasse.](#)

Jahr/Year: 1893

Band/Volume: [60](#)

Autor(en)/Author(s): Eder Josef Maria

Artikel/Article: [Beiträge zur Spectralanalyse. II. Über die Verwendbarkeit der Funkenspectren verschiedenen Metalle \(Cd, Zn, Pb, Mg, Ti, Sn, Al, Ag, Cu, Fe, Ni, Co\) zur Bestimmung der Wellenlänge im Ultravioletten. 13-24](#)